#### АНАЛИЗ МИКРОТЕКТОНИЧЕСКИХ ДАННЫХ ОЧАГОВОЙ ЗОНЫ СПИТАКСКОГО ЗЕМЛЕТРЯСЕНИЯ 1988 Г. И ЦЕНТРАЛЬНОЙ ЧАСТИ ТЕРРИТОРИИ РЕСПУБЛИКИ АРМЕНИЯ

#### С 1997 г. А. В. Авагян

Институт геологических наук НАН РА 375019 Ереван, пр. Маршала Биграмяни, 24а, Республика Армения Поступила в редакцию 10.02.97

В работе приводятся и анализируются микротектонические данные из очаговой зоны Спитакского землетрясения 1988 г. и центральной части территории Республики Армения, с целью выяснения орнентировки полей палеотектонических напряжений, в том числе на основе компьютерной обработки Этн исследования подтвердили, что региональная направленность палеосжатия близмеридиональна, а отклонения главным образом объясняются близостью к зонам активных разломов, служащих границами геодинамически подвижных блоков.

Микротектонические исследования проводились в рамках COBместных работ между Институтом геологических наук НАНА и Университетом Монпелье II (Франция). Полевые исследования проводили Ф. Акто, В. Леонарди, С. Пистр (Франция) и А. Авагян (Армения). Исследовались тектонические деформации в масштабе от нескольких миллиметров до нескольких метров: микроразломы, микротрещины и т. д. Они были измерены в 9-и пунктах в очаговой зоне Спитакского землетрясения, в 6-и пунктах в Араратской котловине, а также в 6-и пунктах в зоне Гарнийского разлома.

На тектонической схеме (рис. 1) и в таблице 1 показаны местонахождения пунктов измерений (географическое название местности, координаты, геологический возраст и тип пород).

Таблица 1 Геологический Породы Станции Пункты замеров Координаты BOIPACT  $q = 40^{\circ}20'20''$ Гарнийский плноценриолит  $L = 44^{\circ}39'$ -четвертичный обсиднан разлом 5  $q = 40^{\circ}20'$ Гарнийский плиоценриолит, 7. - 44°38′50′′ четвертичный обсидиан разлом  $q = 40^{\circ}13'$ 6 Араратская базальт поздне A = 44°33′30′ -четвертичный котловина 9 = 39°53'Араратская верхнии девон, известняк, /. 44°34′30′′ нижний карбон котловина кварцит g 39°50′ Араратская верхний девон, **Н**ЗВестняк /. = 44°41′30′′ котловина пижний карбон 9 q 39°54′ Араратская иэдолиг.о травертин / = 44°41'30'' котловина 10 4 40°08' Гарнийский базальт четвертичный 1. 44°44' разлом  $4 - 40^{\circ}07'$ 11 Гарнийский четвертичный базальт 1. = 44°44′60′′

разлом

1	2	3	4	5
12	Гарнийский разлом	q 40°08'30''	четвертичный	базальт
13	Гарнийский разлом	$q = 40^{\circ}08'30''$ $\lambda = 44^{\circ}47'$	четвертичный	базальт
14	Араратская котловина	q = 10°07′30′′ 13°56′	плиоцен-	вулканическая брекчия
15	Араратская котловина	u = 40°05′ /. = 44°02′	четвертичный	базальт
1	Очаговая зона Спитака	q = 40 49" /. = 44°13	средний эоцен	туфопесчаник
2.3	Очаговая зона Спитака	$q = 40°51'30''$ $\lambda = 44°14'$	средний эоцен	туфопесчаник
4	Очаговая зона Спитака	$q = 40^{\circ}50^{\circ}$ $t = 44^{\circ}11'$	средний эоцен	туфопесчаник
5	Очаговая зона Спитака	$q = 40^{\circ}47'20''$ $\lambda = 44^{\circ}12'$	верхняя юра,	гу ф песчаник
6	Очаговая зона Спитака	$q = 40^{\circ}45'20''$ $t = 44^{\circ}12'$	верхняя юра, нижний мел	туфопесчаник
7	Очаговая зона Спитака	$\varphi = 40^{\circ}44'$ $i = 44^{\circ}12'$	верх. плиоцен, -четвертичный	туфопесчаник
8	Очаговая зона Спитака	μ = 40°50′40′′ λ = 44°23′	средн <b>ий</b> эоцен	туфопесчаник
9	Очаговая зона Спитака	$\phi = 40^{\circ}48'$ $\lambda = 44^{\circ}29$	средний эсцен	туфопесчаник

### Методы исследований

Для каждого пункта определялись:

а) список измерений (азимут простирания, наклон плоскости разлома, наклон штриховки и кинематика движений), диаграмма соотношений наклонов плоскостей разломов с наклонами штриховок (pandage-pitch), где наклон плоскости (pandage)—это угол падения плоскости разлома, а наклон штриховки (pitch)—это угол между горизонталью и направлением штриховки;

б) стереограмма, полученная с помощью компьютерной программы «Stereogramme» (любезно предоставленной лабораторией тектоники и геофизики Университета Монпелье II, Франция), которая поз-

воляет размещать плоскости разломов на полусфере Шмидта;

в) изображение осей напряжений на нижней полусфере Шмидта.

которое получено по методу оптимального напряжения;

г) решение, полученное с помощью компьютерной программы «Файл», созданной А. Этчекопаром (А. Etchecopar), также любезно предоставленной лабораторией тектопики и геофизики Университета Монпелье II (Франция), которая позволяет оценить состояние напряжений для определенного количества микроразломов ориентации осей напряжений: сжатия, промежуточной и растяжения (од. од. од.);

д) изображение на круге Мога, а также гистограмма, показы-

вающая соответствие между реальными и рассчитанными штрихов-

#### Образцы исследований микротектонических пунктов измерений

-Пункты измерений под номерами 4, 5 и 10 (зона Гарнийского разлома) выбраны для демонстрации хода исследований (рис. 1).

Пункт 4: согласно диаграмме наклон-пич большая часть измерений расположена в области сдвига, за исключением двух случаев (измерения 1 и 2). Стереограмма показала, что все микроразломы (кроме 1 и 2) могут существовать в одной и той же кинематической ситуации осей напряжений, что доказывает изображение, полученное по методу оптимальных напряжений (рис. 1, изображения на полусфере Шмидта—4). Это означает, что мы имеем одну тектоническую фазу напряжений.

По изображению круга Мога имеется нормальное соответствие между отношениями То, и разломами, где Т—это тангенциальный, воздействующей на плоскость раз-

лома (надо отметить, что здесь не учтены измерения 1 и 2).

Гистограмма показала, что отклонения между наклонами штри-

ховок дают хорошее решение

Для измерений 1 и 2 можно отметить, что это может быть или следствием ошибок измерений, или отклонением граекторий напряжений. Подобные отклонения могут быть связаны или с активной деформацией, или со структурами, уже существующими, а также с существованием второй тектонической фазы. Последнее мало вероятно по причине малого количества данных, хотя оба микроразлома могут возникнуть при одной и той же ситуации напряжений.

Для этого пункта от ориентирована горизонтально восток-запад.

 $\sigma_3$ —север-юг и  $\sigma_2$ —вертикально (сдвиговой режим).

Пункт 5: мы имеем две тектонические фазы (рис. 1, изображения на полусфере Шмидта 5а, 5б). Для одной фазы  $\sigma_1$  ориентировано С-20-40°, а  $\sigma_2$  и  $\sigma_3$  изменяют ориентацию вокруг  $\sigma_1$ . Это хорошо заметно на изображении, сделанном по методу оптимального напряжения (рис. 1) На решении по программе «Файл» это не видно, однако мы получаем те же результаты, принимая отношение  $\sigma_1$  которое почти равно 0: согласно принципу Ботта [4]

если

$$R=0 \rightarrow \sigma_2-\sigma_3/\sigma_1=\sigma_3=0 \Rightarrow \sigma_2-\sigma_3$$

поэтому здесь определяется одноосевое напряжение.

Для фазы о — вертикальна, о 2 — орентирована на С-30° и

σ₃-С-120° (режим растяжения).

На примере пункта 10 выделяются 3 группировки микроразломов, которые соответствуют трем тектоническим фазам (рис. I', изображения на полусфере Шмидта 10а, 10б, 10г). В одном случае  $\sigma_2$  имеет одну и ту же ориентацию (C-135-175°), а  $\sigma_1$ ,  $\sigma_3$  меняют свои места. В другом случае  $\sigma_1$  остается постоянной (C-20-35°), а  $\sigma_2$ ,  $\sigma_3$  меняют свои места.

На примере *пунктов* 5, 6 могут быть выделены две тектонические фазы, здесь имеется множество случаев, когда при одной и той же ситуации наклона разлома и наклона штриховки, имеются противоположные подвижки.

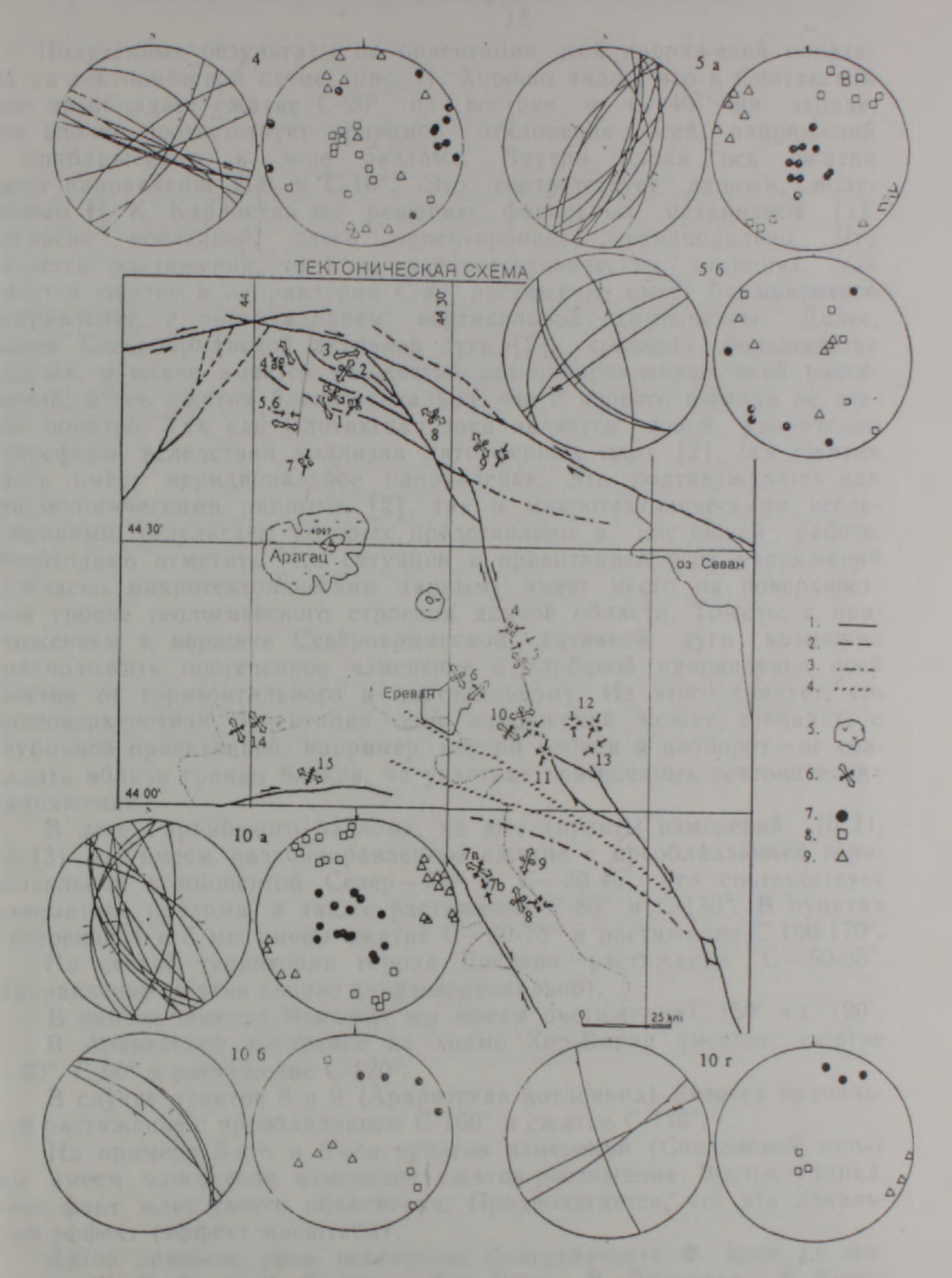


Рис 1. Тектоническая схема с стереограммами и осями напряжений для пунктов измерений 4, 5, и 10 зоны Гарнийского разлома. Условные обозначения: 1 активные разломы, 2 предполагаемые активные разломы, 3 четвертичные разломы, 4 четверичные скрытые разломы, 5 крупные вулканы, 6 оси напряжений, 7. о 1, 8 о 2, 9 о 3

## Тектоническая интерпретация данных и заключение

Полученные результаты по ориентации осей напряжений показаны на тектонической схеме (рис. 1). Хорошо видно, что в Спитакской зоне преобладает сжатие С-20° на востоке и С-140° на западе. Это вполне соответствует принципу отклонения осей напряжений с приближением к зоне разлома. Внутри блока ось сжатия имеет направление С-0 и С-10°. Это соответствует данным, полученным Н. К. Карапетян по решению фокальных механизмов [1]. Согласно последней, здесь ориентировано мериднонально. Что касается растяжения, то в тех микротектонических станциях, где имеется сжатие в направлении С-Ю, растяжение имеет близширотное направление, с преобладанием вертикальной компоненты Далее. южнее Североармянской активной дуги [2], согласно большинству данных, в плане имеется множество разнонаправленных осей растяжений, а ось сжатия близвертикальна, что с первого взгляда не совсем понятно. Так как Спитакская зона является зоной укорочения литосферы, вследствии коллизии литосферных плит [2], ось сжатия здесь имеет меридиональное направление. Это подтверждается как сейсмологическими данными [2], так и микротектоническими исследованиями, результаты которых представлены в настоящей работе. Необходимо отметить, что ситуация с ориентацией осей напряжений (согласно микротектоническим данным) имеет место на поверхностном уровне геологического строения данной области. То-есть: с приближением к вершине Североармянской активной дуги возможно предположить постепенное изменение с глубиной направления осей сжатия от горизонтального к вертикальному. Из этого следует, что приповерхностная ориентация осей напряжений может совпадать с глубинной ориентацией, например, внутри блоков и наоборот не совпадать вблизи границ блоков, на участках повышенных тектонических напряжений.

В зоне Гарнийского разлома, на юге (пункты измерений 10,11, 12,13) мы имеем разнонаправленное сжатие с преобладающей горизонтальной компонентой Север—Юг и С—20-45°, что соответствует кинематике разлома, а также растяжение С-80° и С-130°. В пунктах измерений 4 и 5 мы имеем сжатие С—60-75° и растяжение С-160-170°.

На севере территории города Еревана-растяжение С 50-55

Направление сжатия спорно (квазивертикально).

В районе поселка Мецамор мы имеем растяжение С-150° и С-120°. В Араратской котловине на холме Хор-Вирап имеется сжатие С-20°, С-60° и растяжение С-120°.

В случае пунктов 8 и 9 (Араратская котловина) имеется радиаль-

кое растяжение с преобладанием С-160° и сжатие С-110°.

На примере 5-ого и 6-ого пунктов измерений (Спитакской зоны) мы имеем одноосевое изменение сжатия-растяжения Восток—Запад. этот факт ждет своего объяснения. Предполагается, что это локальный эффект (эффект масштаба).

Автор приносит свою искреннюю благодарность Ф Арто. О Филиппу, Ж. К. Грио, Д. Карбону, Дж. Рицу, В. Леонарди, А. Карауаняну за помощь в проделанной работе и в подготовке настоящей

статын.

ՀԱՑԱՍՏԱՆԻ ՀԱՆՐԱՊԵՏՈՒԹՅԱՆ ՏԱՐԱԾՔԻ ԿԵՆՏՐՈՆԱԿԱՆ ՄԱՍԻ ԵՎ 1988 Թ. ՍՊԻՏԱԿԻ ԵՐԿՐԱՇԱՐԺԻ ՕՋԱԽԱՅԻՆ ԶՈՆԱՅԻ ՄԻԿՐՈՏԵԿՏՈՆԱԿԱՆ ՏՎՅԱԼՆԵՐԻ ԱՆԱԼԻԶ

#### Ա. Վ. Ավագյան

#### Udynynid

Աշխատանքում պալեոտեկտոնական լարվածությունների դաշտի կողմնորոշվածությունը պարզելու համար անալիզի են ենթարկված ՀՀ տարածքի 4 և նարոնական մասի և 1988 թ. Սպիտակի երկրաշարժի օջախային գոնայի դիկրւարիաստրակար ավյանրերը։ Նաշտային աշխատարներերը իրակարացվել են Ֆ. Ախտոր, Վ. Լհոնաղդիր, Ս. Պիստղի (Ֆրանսիա, Մոնպելիե 11 համալսարան) և Ա. Ավագլանի (ՀՀ ԳԱԱ ԵԳԻ) կողմից։ Ուսումնասիրվել են մի քանի միլեմեարից մինչև մի քանի մետր չափսերի տեկտոնական դեֆորմացիաները՝ միկրոխողվածքներ, միկրոձեղքեր և այլն, որոնք չափադրվել են Սպիաակի երկրաշարժի օջախային զոնայի 9 տեղամասերում, Արաբատյան գոգավարության 6 տեղամսերում և Գառնու ակտիվ խզման զոնայի 6 տեղամասերում։ Տվյալները շեղինակի կողմից ուսումնասիրվել են մի շարք մեթոդներով, այդ թվում՝ համակարգչային հատուկ ծրագրերի օգնությամբ։ Այդ ուսումնասիրությունները ցույց տվեցին, որ պալեոսեղմման ռեգիոնալ ուղղությունը մերձմիջօրեական է, իսկ շեղումները գլիւավորապես բացատրվում են գեոդինամիկորեն շարժուն բլոկների սահմաններ հանդիսացող ակտիվ խզումրբևրիր դատ արմանելություն աղև դարի դանեւ

# ANALYSIS OF MICROTECTONIC DATA OF THE FOCUS ZONE OF THE 1988 SPITAK EARTHQUAKE AND THE CENTRAL PART OF THE TERRITORY OF THE REPUBLIC OF ARMENIA

#### A. V. Avagyan

#### Abstract

The paper presents and analyzes the microtectonic data from the focus zone of the 1988 Spitak earthquake and the central part of the territory of the Republic of Armenia, aimed to revealing of the palaeotectonic stress fields orientations, including application of the computer processing. These investigations confirmed that the regional orientation of palaeocompression is primarily explained by the fact that they were close to active faults zones, which were geodynamically mobile units' boundaries.

#### ЛИТЕРАТУРА

Карапетян Н. К. Сейсмогеодинамика и механизм возникновения землетрясений Армянского нагорья Ереван: Изд. АН Армянской ССР, 1990, 261 с.

2 Arthaud F., «Methode de determination graphique des directions de raccourcissement, d'allongement et intermediaire d'une population de failles». Bull Soc Geol. 1969, Fr. 11. pp. 729-737.

5. Bles J. L., Feuga B. «La Fracturation des roches» Orleans: BRGM, 1981, 123.2.

4. Karakhanian A. S. «The active faults of the Armenian Apland», Proceeding of the Scientific Meeting on Seismic Protection, Venice, 1993, pp. 88-93.

5 Mercier J., Vergely P., «Tectonique». Paris: Dunod, 1992, 214 p.